

# Projet de physique Numérique - Allée de Von Karman

Simulation python

Cadiou Corentin    Petit Antoine

Janvier 2014

# Table of Contents

## Mise en place de la simulation

Point de départ

Incorporation du problème

BFECC

L'obstacle qui bouge

## Résultats de la simulation

La propulsion

# Point de départ

Code initial : simulation d'une cellule de Rayleigh-Benard.

Schéma d'advection :

- ▶ advection 1/2 lagrangienne -  $\chi$  diffusion (u,v) ;
- ▶ advection 1/2 lagrangienne -  $\chi$  diffusion (T) ;

# Point de départ

Premières modifications :

- ▶ suppression de la température ;

# Point de départ

Premières modifications :

- ▶ suppression de la température ;
- ▶ modification des conditions aux limites :

# Point de départ

Premières modifications :

- ▶ suppression de la température ;
- ▶ modification des conditions aux limites :
  - ▶ haut et bas :

$$\left. \frac{\partial u}{\partial y} \right|_{y=0,H} = \left. \frac{\partial v}{\partial y} \right|_{y=0,H} = 0$$

# Point de départ

Premières modifications :

- ▶ suppression de la température ;
- ▶ modification des conditions aux limites :
  - ▶ haut et bas :

$$\left. \frac{\partial u}{\partial y} \right|_{y=0,H} = \left. \frac{\partial v}{\partial y} \right|_{y=0,H} = 0$$

- ▶ droite :

$$\left. \frac{\partial u}{\partial x} \right|_{x=W} = \left. \frac{\partial v}{\partial y} \right|_{y=W} = 0$$

# Point de départ

Premières modifications :

- ▶ suppression de la température ;
- ▶ modification des conditions aux limites :
  - ▶ haut et bas :

$$\left. \frac{\partial u}{\partial y} \right|_{y=0,H} = \left. \frac{\partial v}{\partial y} \right|_{y=0,H} = 0$$

- ▶ droite :

$$\left. \frac{\partial u}{\partial x} \right|_{x=W} = \left. \frac{\partial v}{\partial y} \right|_{y=W} = 0$$

- ▶ gauche :

$$\left. \frac{\partial u}{\partial x} \right|_{x=0} = u_0 \quad \left. \frac{\partial v}{\partial x} \right|_{x=0} = 0$$



# Table of Contents

## Mise en place de la simulation

Point de départ

**Incorporation du problème**

BFECC

L'obstacle qui bouge

## Résultats de la simulation

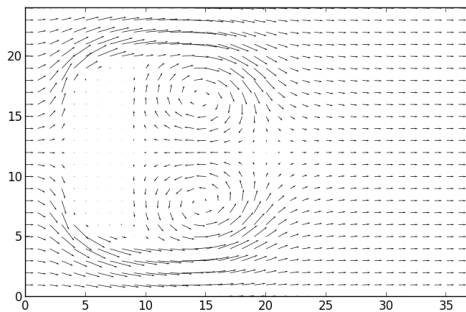
La propulsion

## Obstacle

Pour commencer, nous avons imposé un obstacle fixe (noté  $\mathcal{O}$ ) :

$$\forall (x, y) \in \mathcal{O} : u(x, y) = v(x, y) = 0$$

On visualisait en regardant le champ de vitesse ...

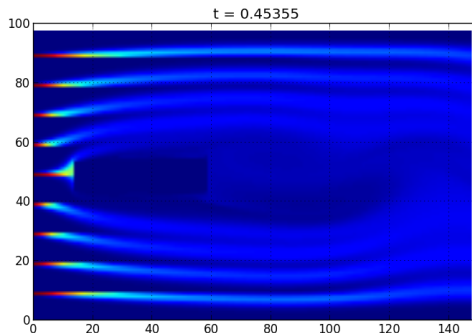


# Traceurs

...avant de remplacer cet affichage par la visualisation de traceurs, c'est-à-dire un champ supplémentaire noté  $T$  advecté et passif tel que :

$$\forall n \in \mathbb{Z} \quad T(0, n\Delta, t > 0) = 1$$

$$\forall (x, y) \quad T(x, y, 0) = 0$$



# Traceurs “derrière”

Idée : l'obstacle impose  $\forall (x, y) \in \mathcal{O} : T^n(x, y) = 0$  et on met initialement  $\forall (x, y) \notin \mathcal{O} : T^0 = 1$ .

# Table of Contents

## Mise en place de la simulation

Point de départ

Incorporation du problème

**BFECC**

L'obstacle qui bouge

## Résultats de la simulation

La propulsion

# Back and Forth Error Compensation and Correct

On effectue les pas suivants pour un champ scalaire  $X^n(x, y)$ , un champ de vitesse  $\vec{v}$  et un opérateur d'advection  $A(\vec{v}, X)$  :

$$X_1 = A(\vec{v}, X^n) \quad (1)$$

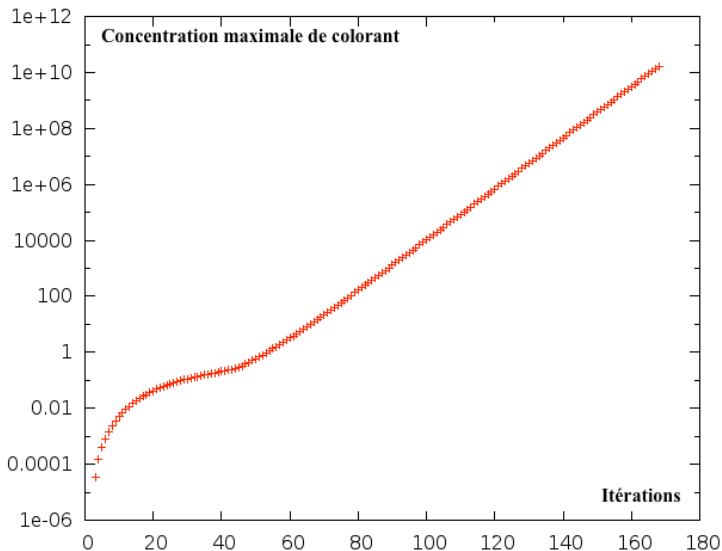
$$X_2 = A(-\vec{v}, X_1) \quad (2)$$

$$X^{n+1} = A(\vec{v}, X - \alpha(X^n - X_2)) \quad (3)$$

Dans la littérature,  $\alpha = \frac{1}{2}$ .

## BFECC instable

Dans nos conditions (pas de diffusion physique, haut Reynolds) :  
BFECC instable



Solution : diminuer  $\alpha$

Si on diminue  $\alpha$ , la diffusion numérique augmente :



# Table of Contents

## Mise en place de la simulation

Point de départ

Incorporation du problème

BFECC

L'obstacle qui bouge

## Résultats de la simulation

La propulsion

# Table of Contents

## Mise en place de la simulation

Point de départ

Incorporation du problème

BFECC

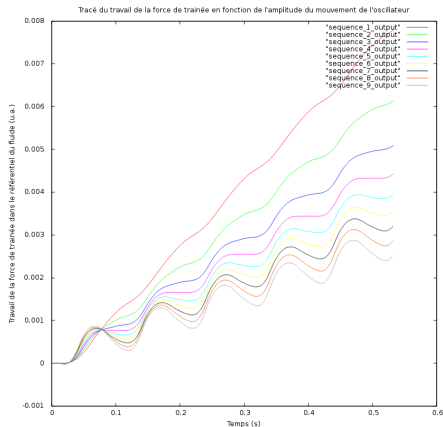
L'obstacle qui bouge

## Résultats de la simulation

La propulsion

# L'effet de l'amplitude d'oscillation

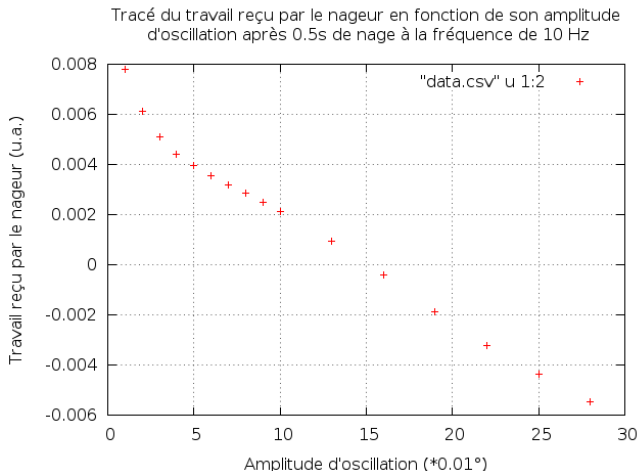
On fait varier l'amplitude d'oscillation



Travail de la force de traînée pour une amplitude entre  $0,01^\circ$  et  $0,09^\circ$  à une fréquence de 10 Hz.

# L'effet de l'amplitude d'oscillation

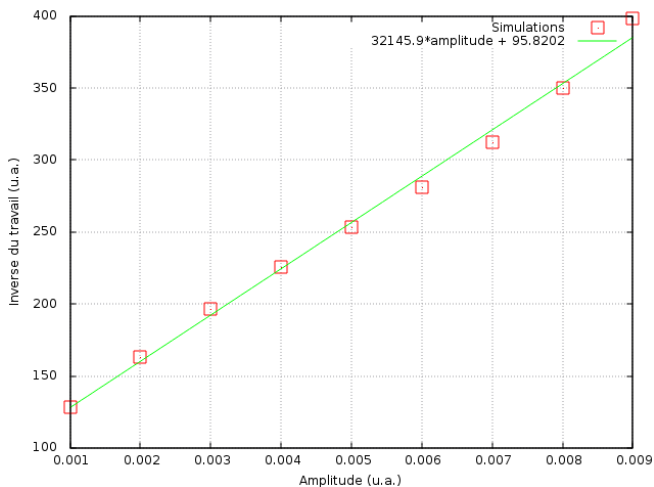
Sur une plus grande plage d'amplitudes, la traînée devient motrice



Travail de la traînée au bout de 2000 itérations

# Interpolation

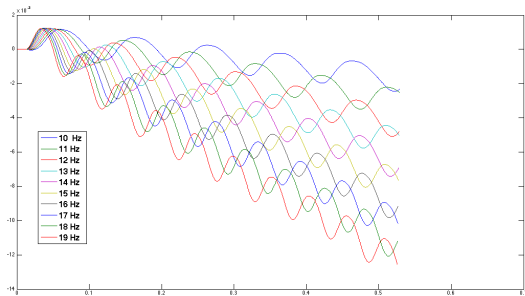
On remarque que pour  $\theta_0 < 0,01$ ,  $W_t \propto \theta_0^{-1}$



Régression linéaire de  $W_t^{-1}$  en fonction de  $\theta_0$

# L'effet de la fréquence d'oscillation

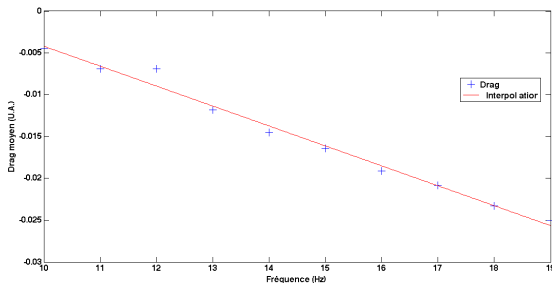
On fait varier la fréquence d'oscillation



Travail de la force de traînée pour une fréquence entre 10 Hz et 20 Hz à une amplitude de  $0,02^\circ$ .

# Interpolation

On interpole la force de traînée moyenne (pentes des droites d'interpolations des droites précédentes)



La force de traînée est linéaire en fréquence sur la plage étudiée.